

~~1929.513~~

VERÖFFENTLICHUNG
DES PREUSZISCHEN GEODÄTISCHEN INSTITUTS
NEUE FOLGE Nr. 102

SEISMOMETRISCHE BEOBACHTUNGEN

IN

POTSDAM

IN DER ZEIT

VOM 1. JANUAR 1928 BIS 31. DEZEMBER 1928

VON

R. BERGER UND DR. K. JUNG



-gelöscht 13.4.76
POTSDAM
1929

This book was donated to the ISC
from the collection of
Professor Nicolas N Ambraseys
1929-2012

Die nachstehend aufgeführten Veröffentlichungen können zu den angegebenen Preisen vom Geodätischen Institut in Potsdam bezogen werden.

Bei Bestellung bitte Nummer angeben.

Nr.	Titel	Betrag
48	Längendifferenz Berlin — Lund 1868. C. Bruhns. Lund 1870. 4° 51 S.	2.40
49	Längendifferenz Berlin — Wien. C. Bruhns. Leipzig 1871. 4° 47 S.	2.40
141	Astr. geod. Arb. I. Ord. 1881. Polhöhen im Harz. Berlin 1882. 4° 32 S.	1.45
155	— 1881 u. 1882. Instruktion f. d. Polhöhen- u. Azimutbestimmung. Polhöhen u. Azimute auf 7 Stationen (Ost- u. Westpr.) Berlin 1883. 4° 232 S.	10.20
170	— 1883 und 1884. Bestimmungen der Längendifferenzen Berlin — Kiel — Swinemünde — Königsberg — Warschau. Berlin 1885. 4° 202 S.	9.60
182	— 1885 und 1886. Längenbestimmungen. Berlin 1887. 4° 216 S.	9.60
229	— 1887 bis 1891. Polhöhenbestimmungen im Harz. Berlin 1894. 4° 75 S.	3.60
258	— 1887 bis 1891. Azimute im Harz. Längendifferenz Jerxheim — Kniel. Berlin 1898. 4° 87 S., 1 Tafel	4.20
N. 20	— Die Polhöhe von Potsdam. III. Heft. M. Schnauder. Berlin 1905. 4° 51 S., 2 Tafeln	2.40
N. 24	— 1904. Längendifferenz Potsdam — Borkum. Berlin 1906. 4° 48 S.	2.40
N. 43	— 1907 und 1909. Polhöhe und Azimut in Memel, Länge Jena — Gotha — Göttingen. Berlin 1910. 4° 111 S., 1 Tafel	4.80
N. 48	— 1902, 1903, 1908 und 1909. Polhöhenbestimmungen. M. Schnauder. Berlin 1910. 4° 100 S., 2 Tafeln	4.80
N. 53	— 1911. Länge Gotha — Knüll — Erndtebrück usw. Berlin 1912. 4° 78 S.	3.—
N. 93	— Zeitdienst des Geodätischen Instituts 1922 u. 1923. B. Wanach. Potsdam 1924. 72 S.	3.60
140	Einfluß der Lateralrefraktion auf das Messen von Horizontalwinkeln. A. Fischer. Berlin 1882. 4° 73 S.	3.25
195	Das Märkisch-Thüringische Dreiecksnetz. Mit Dreieckskarte. Berlin 1889. 4° 144 S.	6.60
213	Berliner Basisnetz 1885/87. Berlin 1891. 4° 87 S., 2 Tafeln	4.—
N. 78	Untersuchung von Basisapparaten. — 1. Österr. Basisapparat. G. Förster. Berlin 1919. 4° 40 S.	7.20
N. 91	Untersuchung einer automatischen Kreisteilmachine für zentesimale Teilung. G. Förster. Berlin 1923. 8° 27 S.	2.40
51	Begründung der Rechenmethoden des Zentralbüros der Europ. Gradmessung. 3. Heft. Nivellements. C. Bremiker. Berlin 1871. 4° 22 S.	1.20
142	Gradmessungs-Nivellement Swinemünde — Konstanz. W. Seibt. Berlin 1882. 4° 109 S., 2 Tafeln, 1 Karte	5.—
153	Gradmessungs-Nivellement Swinemünde — Amsterdam. W. Seibt. Berlin 1883. 4° 44 S., 2 Tafeln, 1 Karte	2.20
240	Zenitdistanzen zur Bestimmung der Höhenlage von Helgoland, Neuwerk, Wangeroog, Roter Sand. Berlin 1895. 4° 280 S., 3 Tafeln	13.20
N. 37	Hydrostatische Höhenvergleiche auf d. Telegraphenberge bei Potsdam. F. Kühnen. Berlin 1908. 4° 23 S., 7 Tafeln	2.40
N. 70	Das Mittelwasser der Ostsee bei Travemünde usw., der Nordsee bei Bremerhaven 1898/1910. F. Kühnen. Berlin 1916. 4° 207 S., 2 Tafeln	14.40
N. 80	Über die sogenannte Polflut in der Ost- und Nordsee. E. Przybyllok. Berlin 1919. 4° 24 S.	5.40
198	Gewichtsbestimmungen für Seitenverhältnisse in schematischen Dreiecksnetzen. P. Simon. Berlin 1889. 4° 39 S.	1.80
260	Beiträge zur Berechnung von Lotabweichungssystemen. L. Krüger. Potsdam 1898. 4° 106 S.	10.—
N. 10	Lotabweichungen. Heft II. A. Börsch und L. Krüger. Berlin 1902. 4° 204 S., 3 Tafeln	9.60
N. 28	„ Heft III. A. Börsch. Berlin 1906. 4° 164 S., 1 Tafel	7.20
N. 39	„ Heft IV. A. Börsch. Berlin 1909. 4° 106 S., 1 Tafel	4.80
N. 68	„ Heft V. L. Krüger. Berlin 1916. 4° 134 S.	4.80
N. 18	Ausgleichung von bedingten Beobachtungen in 2 Gruppen. L. Krüger. Potsdam 1905. 4° 21 S.	2.40



VERÖFFENTLICHUNG
DES PREUSZISCHEN GEODÄTISCHEN INSTITUTS

NEUE FOLGE Nr. 102

SEISMOMETRISCHE BEOBACHTUNGEN

IN

POTSDAM

IN DER ZEIT

VOM 1. JANUAR 1928 BIS 31. DEZEMBER 1928

VON

R. BERGER UND DR. K. JUNG

POTSDAM
1929

Abkürzungen.

- Phasen: i = impetus, scharfer Einsatz
 e = emersio, allmähliches Auftauchen
 P = Beginn der ersten Vorläufer (undae primae)
 PR_n [auch $PP_1\dots$] = „ „ n mal reflektierten ersten Vorläufer
 S = „ „ zweiten Vorläufer (undae secundae)
 SR_n [auch $SS_1\dots$] = „ „ n mal reflektierten zweiten Vorläufer
 PS = „ „ „Wechselwellen“
 L = „ „ Hauptbewegung (undae longae)
 M = scheinbares (Diagramm-) Maximum (undae maximae)
 M_2 = zweites Maximum
 C = cauda, Nachläufer (gegebenenfalls $C_1, C_2\dots$)
 F = finis, Ende
 W_2 = Wellen, die durch den Gegenpunkt des Herdes gegangen sind
 W_3 = Wellen, die nach einer vollen Umkreisung der Erde den Beobachtungsort zum zweiten Male erreichen
 A = Amplitude (gerechnet von der Ruhelinie) in $\mu = 0,001$ mm
 T = Periode (doppelte Schwingungsdauer) in Sekunden
 MsB = mikroseismische Bewegung
- Komponenten: N = N — S -Komponente
 E = E — W - „
- In () gesetzte oder mit ? versehene Angaben sind unsicher.
-

Station: Potsdam, Geodätisches Institut, Erdbebenhaus.

$\varphi = 52^{\circ} 22.8'$, $\lambda = 13^{\circ} 4.1' = 0^{\text{h}} 52^{\text{m}} 16.5^{\text{s}}$ E. v. Grw.
80 m über NN. Untergrund: Sand (diluviale Ablagerungen).

Erdbeben 1928.

Hauptinstrument für die Aufzeichnungen: Wiechertscher Horizontalseismograph (1000 kg stationäre Masse, Luftdämpfung, Rußregistrierung, Registriereschwindigkeit 0.2 mm in der Sekunde).

Mittlere Konstanten:

<i>E</i> -Komp.			<i>N</i> -Komp.		
T_0	V	ϵ	T_0	V	ϵ
6 ^s	330	2.5	10 ^s	280	4

Die mittlere Jahrestemperatur im Instrumentenraum war $8^{\circ}.6$, das Maximum war $+18^{\circ}.0$, das Minimum $-0^{\circ}.4$. Die mittlere tägliche Änderung war $0^{\circ}.3$.

In einzelnen Fällen konnte die Registrierung eines Vertikalseismographen nach Wiechert (mittlere Konstanten: $T_0 = 3^{\text{s}}$, $V = 170$, $\epsilon = 2.5$ herangezogen werden.

Die Aufzeichnungen der Galitzin-Wilip-Horizontalapparate haben im Laufe des Berichtsjahres begonnen. Da sie wegen häufigen Versagens des zum Registrierapparate gehörigen Laufwerkes noch lückenhaft waren, wurde von einer Veröffentlichung der Auswertungen im nachfolgenden Kataloge abgesehen.

Auf beigegebenen Tafeln sind Wiechertdiagramme von den Beben am 14. April, 2. Mai, 17. Juni und 25. August wiedergegeben, außerdem zum Vergleich die Diagramme der Beben vom 2. Mai und 25. August durch die Galitzin-Wilipschen Horizontalseismographen. Im übrigen sei auf die Veröffentlichungen des Preußischen Geodätischen Instituts N. F. 96 und 100 hingewiesen.

Berger und Jung.

Datum	Phase	Weltzeit			<i>T</i>	<i>A_E</i>	<i>A_N</i>	Bemerkungen
		h	m	s				
1928								
Januar 4.	<i>L</i>	22	27-42					
— 6.	<i>P</i>	19	41	32	3; 10	2	4; 5	+ 3 sec wegen Minutenlücke unsicher. Bei der <i>N</i> -Komponente tritt anfangs außerdem eine Periode von 10 sec auf.
	<i>S</i>		49	13	4		4	
	<i>eL</i>	20	0	30	12		4	
	<i>M_{N1}</i>		9	50	14		31	
	<i>M_{N2}</i>		11	54	13		35	
	<i>M_{N3}</i>		15	2	11		21	
	<i>M_{E1}</i>	20	10	58	13	37		
	<i>M_{E2}</i>		14		13	> 29		
	<i>F</i>	21 ^{1/2}						
— 12.	<i>L</i>	14	8-19		20	16	6	
Febr. 3.	<i>i</i>	13	56	24	4		2	
— 4.	<i>L</i>	7	15		24			
— 21.	<i>e</i>	19	59	22				<i>N</i> -Komponente wesentlich schärfer ausgeprägt.
	<i>L</i>	20	19		30 _E 40 _N	36	29	
	<i>M</i>		27		17			
	<i>M</i>		30		18	19	7	
März 7.	<i>iP</i>	10	58	39				
	<i>iS</i>	11	1	19				
	<i>M_{1E,N}</i>		3		6	18	29	
	<i>M_{2E,N}</i>		4		6	16	26	
	<i>F</i>	11.3						
— 7.	<i>i</i>	23	16	8				<i>E</i> -Komponente früher.
	<i>eL</i>		16	39	8		3	
	<i>M_N</i>		24,2		15		7	
	<i>M_E</i>		24,7		16	19		
— 9.	<i>iP</i>	18	18	11	3	8	4	Hauptmaximum.
	<i>i(S)</i>		28	23	6	2		
	(<i>M</i>) <i>E</i>		34		20	> 240		
	<i>M_N</i>		53		20		62	
	<i>M_N</i>		56		20		87	
	<i>M_N</i>		58		18		84	
	<i>M</i>	19	4		16	133	116	
— 16.	<i>iP</i>	5	20	47	4			
	<i>eL</i>	6	6					
	<i>M_{1E}</i>		24		24	138		
	<i>M_{2E}</i>		30		20	112		
	<i>M_{1N}</i>	6	19		26		118	
	<i>M_{2N}</i>		26					
	<i>F</i>	8						
— 22.	<i>e</i>	4	30					Minutenlücke.
	<i>e</i>		31,7					
	<i>i</i>		40	57				
	<i>M_N</i>	5	6		23		234	
	<i>M_E</i>		5-6			512		
	<i>F</i>	7.5						

Datum	Phase	Weltzeit			T	A _E	A _N	Bemerkungen
		h	m	s				
1928								
März 26.	<i>e</i>	14	42,5					
	<i>iS</i>		43	17	4			
	<i>M</i>		43,7		3-4	52-43	78-73	
	<i>M</i>		44,2		3-4	55-46	62-60	
	<i>F</i>	15.0						
— 27.	<i>i</i>	8	34	17	5			
	<i>i</i>		35	19	4	13		
	(<i>M</i>)		35,7		8	> 123	> 194 Schreibnadeln abgeworfen.	
— 29.	<i>i</i>	5	27	26	8	14	12 Das vermutliche <i>P</i> wegen	
	(<i>M</i>)		58		17	11	13 <i>MsB</i> nicht mit Sicherheit zu be-	
							stimmen.	
— 31.	<i>iP</i>	0	33	55				
	<i>i</i>		37	16				
	<i>M</i> ₁		40			450	205 <i>N</i> -Komponente gestört.	
	<i>M</i> ₂		41			392	207	
	<i>F</i>	1½						
April 9.	<i>eL</i>	18	22		30	22	Nur <i>EW</i> deutlich, Spuren in <i>NS</i> .	
	<i>M</i>		25		20	19		
	<i>F</i>	19						
— 14.	<i>iP</i>	09	03	07	4	18	47 Herd: Südbulgarien.	
	<i>i</i>		05		5	12	17	
	<i>e</i>			40	4	9	18 Auch vertikal.	
	<i>e</i>		06	20	4	19	23	
	<i>e</i>			50	5	29		
	<i>eL</i>		05,5		30-40			
					abnehmend bis			
					20	1200	1000 <i>NS, EW</i> Schreibnadel abgeworfen.	
							Weiter nur vertikal.	
							<i>M</i> : 09 ^h 09 ^m 30 ^s , <i>T</i> =8 ^s , <i>A_V</i> =800 μ.	
							<i>F</i> : 09 ^h 25 ^m .	
— 17.	<i>eP</i>	03	38,5		4	1	1 Herd: Mexiko.	
	<i>e</i>		41,8		4	1	1	
	<i>eS</i>		48	40	5	3	3	
	<i>eL_N</i>	04	10		30		10	
	<i>eL_E</i>		13		30	38		
	<i>M</i>		19		20	13	7	
— 18.	<i>P</i>	19	26,0		5	22	67 Herd: Südbulgarien.	
	<i>i</i>			38	4	28	36 <i>P</i> in Minutenlücke.	
	<i>i</i>		27	08	5	12	23	
	<i>i_N</i>		28	39	8		44	
	<i>i_E</i>			45	3	15		
	<i>eL</i>		29					
	<i>L</i>				20	3200	1500 <i>NS, EW</i> Schreibnadel abgeworfen	
							Weiter nur vertikal:	
							<i>M</i> ₁ : 19 ^h 30 ^m 50 ^s , <i>T</i> =3 ^s , <i>A_V</i> =26 μ	
							<i>M</i> ₂ : 19 ^h 32 ^m , <i>T</i> =7 ^s , <i>A_V</i> =460 μ	
							<i>F</i> : 20 ^h .	

Datum	Phase	Weltzeit			T	A _E	A _N	Bemerkungen
		h	m	s				
1928								
April 22.	<i>iP_N</i>	20	17	42	2		3 Herd: Korinth. Auch vertikal.	
	<i>iP_E</i>			44	2	1		
	<i>e</i>		18	10	4	1		
	<i>i</i>			11				
	<i>i</i>			22	3		6	
	<i>e</i>			28	3	4		
	<i>eS_E</i>		20	40	4	7		
	<i>iS_N</i>			55	4		11	
	<i>i</i>		21	13	3	7		
	<i>i</i>			32	4	6		
	<i>eL</i>		22,5		12			
	<i>M</i> ₁		23,8		10	150	47	
	<i>M</i> ₂		24,8		11		96 Auch vertikal.	
	<i>M</i> _{3,N}		26,5		10		53	
	<i>M</i> _{3,E}		27,1		7	43		
	<i>F</i>		45					
— 25.	<i>e</i>	0	40					
	<i>M</i>		43		8			
	<i>F</i>		50				3	
— 25.	<i>eL</i>	09	33		16		43 Herd: Bulgarien.	
	<i>M</i> ₁		34	50	11		32	
	<i>M</i> ₂		35	20	10			
	<i>M</i>		36	20	7	14		
	<i>F</i>		50					
— 27.	<i>eL</i>	21	23		30			
	<i>M</i>	um	33		17	6	10	
	<i>F</i>	22						
— 28.	<i>eL</i>	18	06,5		14		17 Herd: Bulgarien.	
	<i>M</i> ₁		06	55	4	3		
	<i>M</i> _{2,N}		08	12	12			
	<i>M</i> _{2,E}			18	8	6		
	<i>F</i>		20					
— 29.	<i>e</i>	09	56				13 Herd: Korinth.	
	<i>M</i>	10	00		8-10	13	13	
	<i>F</i>		08					
Mai 2.	<i>P</i>	21	58	27	2	2	2 Herd: Kleinasien. Auch ver-	
	<i>i</i>			39	4	3	tikal.	
	<i>eS_N</i>	22	01	27	5		8	
	<i>eS_E</i>			33	6	5		
	<i>eL_N</i>		02,0		40-30			
					überlagert von 7			
	<i>eL_E</i>		03,3					
	<i>M</i> ₁		04	50	15	300	220	
	<i>M</i> ₂		05	50	10	78	91 Vertikal: <i>T</i> : 10 s, <i>A_V</i> =52 μ.	
	<i>M</i> ₃		06	15	10	170		
	<i>F</i>		40					

Datum	Phase	Weltzeit			T	A _E	A _N	Bemerkungen
		h	m	s				
1928								
Mai 8.	<i>iP</i>	04	56	30	3	3	6	<i>P</i> deutlich, sonst nicht ausgeprägt, vertikal: <i>iP</i> : 04 ^h 56 ^m 30 ^s , <i>T</i> =3 s, <i>AV</i> =3 μ.
	<i>i</i>		58	34	3	2	4	
	<i>F</i>	05	20					
— 14.	<i>iP</i>	22	28	14	5	1	2	Herd: Equador. Vertikal: <i>AV</i> =4 μ. <i>AV</i> =2 μ. Vertikal: <i>iPP</i> : 22 ^h 31,5, <i>T</i> =3 s, <i>AV</i> =0,3 μ, <i>e</i> : 22 ^h 32,0, <i>T</i> =3 s, <i>AV</i> =1 μ.
	<i>i</i>			19	3—5	3	7	
	<i>i</i>			32	3			
	<i>eSE</i>		38	50	6	4		
	<i>eSN</i>		39	30	13		17	
	<i>e(PS)</i>			50	7	10		
	<i>e</i>		40	50	8—10	13	8	
	<i>e</i>		41,5		8—10	9	11	
	<i>e(SS)</i>		44	45	8—12	17	6	
	<i>e</i>		45	20	6—8	3	6	
	<i>e</i>		46	20	6—8		6	
	<i>eLE</i>	23	00		32			
	<i>M_{1N}</i>		06		20—24		53	Vertikal: <i>AV</i> ≈50.
	<i>M_{1E}</i>		07		22	140		Vertikal: <i>AV</i> ≈70.
	<i>M_{2N}</i>		11		18—20		34	
	<i>M_{2E}</i>		12		18—20	51		
	<i>M₃</i>		16,5		20	65	18	
	<i>M_{4N}</i>		21		19		36	
	<i>M_{4E}</i>		23		19	42		Vertikal: <i>AV</i> ≈30.
	<i>M₅</i>		28		18	38	45	Vertikal: <i>AV</i> ≈30.
	<i>M₆</i>		35		18	18	50	
	<i>M_{7N}</i>		44		17		12	
	<i>M_{7E}</i>		45		19	33		
	(<i>W₂</i>)	00 ¹ / ₂						
	<i>F</i>	01			20			Mehrere Maxima bis <i>F</i> .
	<i>e_N</i>	03	24/27		26			Unregelmäßige Bewegung.
	<i>e_E</i>		25/30		26	19		Lange Wellen, <i>W₄</i> ?
— 26.	<i>e</i>	06	00,3					Keine ausgeprägten Phasen
	<i>M</i>		03		5	4	6	
	<i>F</i>	06 ¹ / ₄						
— 27.	<i>iP</i>	10	02	24	4	2	6	Herd: Japan. Auch vertikal: <i>AV</i> =1 μ.
	<i>eS</i>		12	35	10—16	10	18	
	<i>eL_N</i>		28		35—40		160	
	<i>eL</i>		30,5		35	220	160	
	<i>M₁</i>		35,5		22	320	450	
	<i>M_{2N}</i>		37,2		18		250	
	<i>M_{2E}</i>		37,5		15	140		
	<i>M_{3N}</i>		39,8		19	130	220	
	<i>M_{3E}</i>		39,8		14	65		
	<i>M_{4N}</i>		41,0		19		370	
	<i>M_{4E}</i>		41,3		17	130		
	<i>M₅</i>		42,0		16	140	170	
	<i>M_{5E}</i>		45,0		15	80		
	<i>M_{6N}</i>		47,0		15		80	
	<i>M₇</i>		51,3		13		54	
	<i>F</i>	11 ¹ / ₂						

Datum	Phase	Weltzeit			T	A _E	A _N	Bemerkungen	
		h	m	s					
1928									
Mai 28.	<i>eL_E</i>	16	19		20				
	<i>e_N</i>		22,5						
	<i>M</i>		25,5		13—15	8	23		
	<i>F</i>	16 ³ / ₄							
— 30.	<i>e</i>	20	05,6					Herd: Italien. Schwach. Auch vertikal.	
	<i>F</i>		13						
Juni 1.	<i>iP</i>	13	24	24	4	2	2	Herd: Japan. <i>NS</i> Einsätze undeutlich.	
	<i>iPP</i>		27	20	4	2			
	<i>iS</i>		34	17	5	2	3		
	<i>eL</i>		55		23				
	<i>M_{1E}</i>	14	01		14	32			
	<i>M_{1N}</i>		02		15		72		
	<i>M₂</i>		04,6		13	28	60		
	<i>M₃</i>		06,6		13	23			
	<i>M₄</i>		08,6		12		34		
	<i>F</i>	14 ¹ / ₂							
— 3.	<i>e</i>	09	13						
	<i>M₁</i>		17,5		14	17	110		
	<i>M₂</i>		19		16	30	75		
	<i>M_{3E}</i>		21		13	20			
	<i>M_{3N}</i>		22		13		44		
	<i>F</i>		40						
— 13.		07	58					Spuren eines Bebens.	
		08	00						
— 15.	<i>eS</i>	06	36	26	9	6	15	Herd: Südchinesisches Meer.	
	<i>eL</i>	07	00		30		84		
	<i>M₁</i>		02,9		18	75	120		
	<i>M₂</i>		05		16	47	65		
	<i>M₃</i>		06,9		14	39	160		
	<i>M₄</i>		09,0		18	130			
	<i>M₅</i>		10		17	120	90		
	<i>M₆</i>		13,1		13	44	47		Noch mehrere kleinere Maxima.
	<i>F</i>		40						
— 15.	<i>e</i>	17	40		6	1	4		In der Minutenlücke.
	<i>eL</i>	18	03		40				
	<i>eL</i>		04	56	32				
	<i>M₁</i>		07,1		24		66		
	<i>M₂</i>		09,3		21	58	84		
	<i>M₃</i>		10,3		16	20	45		
	<i>M₄</i>		12,8		15	24	23		
	<i>M₅</i>		15,9		17	22	56		
	<i>M₆</i>		17,6		14		21		
	<i>M₇</i>		22,6		12		17		
	<i>F</i>	18 ³ / ₄							
— 17.	<i>iP</i>	03	32	29	8—12	10	6	Herd: Mexiko.	
					überlagert von 3				Vertikal: <i>AV</i> =20 μ.
	<i>iPP</i>		35	58	10—12	28	20		" <i>AV</i> =20 μ.
					überlagert von 3				

Datum	Phase	Weltzeit			T s	A _E μ	A _N μ	Bemerkungen
		h	m	s				
1928								
Juni 17.	<i>eS</i>		43	25	9	41	40	Vertikal: $T=15$ s, $A_V=20$ μ.
	<i>ePS</i>		44,3		16—18	110	160	In der Minutenlücke.
	<i>i</i>		46,3		10		30	In der Minutenlücke.
	<i>i</i>		51,5		10		22	
	<i>eL</i>		59		23—28			
	<i>M</i> ₁	04	04,8		30	550	150	Vertikal: $A_V \approx 200$ μ.
	<i>M</i> ₂		07		27		560	
	<i>M</i> ₃		09,8		24	1800	260	Vertikal: $A_V \approx 300$ μ.
	<i>M</i> ₄		16		19	340	480	
	<i>M</i> ₅		19		17	280	270	
	<i>M</i> _{6E}		24,8		16	170		
	<i>M</i> _{6N}		25,8		14		82	
	<i>M</i> ₇		31		16	130	180	
	<i>F</i>	06 ³ / ₄						
— 17.	<i>i</i>	07	00	43	3	1	4	Vertikal: $A_V=3$ μ.
	<i>F</i>		07					
— 21.	<i>e</i>	10	59					Kaum von <i>MsB</i> zu unterscheiden.
	<i>F</i>	13						
— 21.	<i>iP</i>	16	38	12	8	2	8	Herd: Alaska.
	<i>ePP</i>		40	überlagert von 2	8—10	4	8	
	<i>iS</i>		46	überlagert von 4	13	13	21	
	<i>e</i>		47		12	14	11	
	<i>e</i>		51,3		16		28	
	<i>e</i>		54	40	16		30	
	<i>eL</i>	17	02		28		57	
	<i>M</i> ₁		03,8		23	31	54	
	<i>M</i> ₂		06,8		20	20	91	
	<i>M</i> ₃		10,3		16	16	45	
	<i>M</i> _{4N}		12,5		16		40	
	<i>M</i> _{4E}		13,6		16	35		
	<i>M</i> ₅		16		14	22	31	
	<i>F</i>	18 ¹ / ₄						
— 24.	<i>i</i>	04	42	33	3	1	1	
	<i>i</i>		43	14	3	7	4	
	<i>i</i>		44	17	3	2	4	
	<i>e</i>		44,8		4	7	4	
	<i>e</i>		52		5			
	<i>M</i>	um	55		5	3	6	Keine ausgesprochene Hauptphase.
	<i>F</i>	05 ¹ / ₂						
— 29.	<i>e</i>	23	11/12		3	0,4	1	
	<i>c</i>		13,5		6	0,5	3	
	<i>eL</i>		30,8		14	6	10	
	<i>M</i>		35,5		20	16	25	
	<i>e</i>		44,8		15	4		Neues Beben?

Datum	Phase	Weltzeit			T s	A _E μ	A _N μ	Bemerkungen
		h	m	s				
1928								
Juni 29.	<i>e</i>		50,5		7—12	≈ 10		
	<i>eL</i>		53,8		20—35	≈ 70		
					und länger			
	<i>M</i> ₁		59,5		30	120	14	
	<i>M</i> _{2E}	00	03		25	110		
	<i>M</i> _{2N}		05		21		11	
	<i>M</i> _{3E}		06		21	110		
	<i>M</i> _{3N}		08		20		19	
	<i>F</i>	01						
Juli 9.	<i>i</i>	21	44	53	5	1	1	
	<i>eL</i>	22	37,9		30	18	12	
	<i>M</i> _E		36,7		18	6		
	<i>M</i> _E		37,7		19		8	
— 15.	<i>i</i>	9	37	35	3	1		
	<i>i</i>		40	53	3	1		
	<i>M</i>		44		11	16	16	
— 18.	<i>i</i>	19	18	38				Wegen Minutenlücke 35—38 sec.
	<i>i</i>		29	16	4	5		
	<i>i</i>		29	53	4E, 12N	8	18	
	<i>eL</i> _E		50,4		12			
	<i>eL</i> _N		51,0		12			
	<i>M</i>		55—60		22	100	64	
Aug. 3.	<i>e</i>	11	54	54				
	<i>eL</i>	12	11,1					
	<i>M</i>		18,2		14	7		
— 4.	<i>iP</i>	18	39	19				
	<i>i</i>		42,7					
	<i>S</i>		49	58				
	<i>eL</i>	19	2		15			In der N-Komp. stark überlagert.
	<i>M</i> _{E1}		16		21	324		
	<i>M</i> _{N1}		16,5		17		94	
	<i>M</i> _{E2}		21		18	238		
	<i>M</i> _{N2}	19	23—24		17		156, 152	
— 10.	<i>iP</i>	15	41	27				Kein ausgeprägtes Maximum
— 23.	<i>e</i>	4	11,2					
	<i>i(S)</i>		16	14				
	<i>M</i>		21—22		8	6	5	
— 24.	<i>e</i>	9	48,6					
	<i>M</i> _N		55,5		10		7	
	<i>M</i> _E		56,9		8	4		
— 25.	<i>i</i> ₁	21	11	51				
	<i>i</i> _{2(S)}		12	36				
	<i>i</i> _{3(L)}		12	56	3	40	33	$M_T: 12^m 56^s, 3 \mu.$
Sept. 1.	<i>eP</i>	6	17	26				
	<i>i</i>		25	40				
	<i>M</i> _{E,N}		42		12	20	25	
	<i>M</i> _N		45		10		19	

Datum	Phase	Weltzeit			T	A _E	A _N	Bemerkungen
		h	m	s				
1928								
Sept. 2.	L	0	47—50		18		Registrierung nicht gut.	
— 11.	L	13	23—25		18			
— 18.	e	17	30	1				
	eL		43,9					
	M _E		57	8	12	22		
	M _N	18	2	31	13		14	
— 18.	e	20	1.3					
	M _E		30—31		13	5		
— 22.	M _E	8	48—49		24	46	Beginn der Vorphasen wegen.	
	M _N		51—56		24		M _s B nicht erkennbar.	
Okt. 9.	i	3	14	11	4			
	i		18	0				
	S		24	37				
	i		25	27				
	i		25	35	4	40		
	eL		43,2		30—40	182—350	194—361	
	M _{N1}		51,7		20		218	
	M _{E1}		55		20	> 400		
	M _{E2}		57		20	480		
	M _{N2}		59		18		172	
							Weitere kleinere Maxima folgen.	
— 15.	i	14	28	9				
	i _{E(S)}		35	2				
	i _{N(S)}		35	16				
	M _N		49,8		10		59	
	M _E		52,7		14	80		
— 20.	M	13	39—40		19	22	31	
— 25.	eL	13	13,4		24—30			
	M _N		18		24		34	
	M _E		19		24	69		
— 26.	e	4	31,9					
	M		34	47	3	4	5	
Nov. 1.	e	4	25	28				
	eL		55,1					
	M _N		59		20		12	
	M _E	5	7		18	25		
— 6.	e	4	26,7					
	eL		8,7					
	M _N		16—18		30		12	
— 20.	e	20	53,2		3			
	e		59	41	8	2		
	e	21	0	14	8		4	
	L		26	58	30	36		
	M		32		26	27		
— 28.	i?	11	2	18				
	L		37					
							Beginn fällt in Stundenmarke. Registrierlinien zusammengelaufen.	



Datum	Phase	Weltzeit			T	A _E	A _N	Bemerkungen
		h	m	s				
1928								
Dez. 1.	i _{1E}	4	25	47	6	1		
	i _N		26	1	4		2	
	i _{2E}		31	53	6	5		
	i _{3E}		35	34	15			
	eL	5	1,2		18		14	
	M _{N1}		6		24		255	
	M _{N2}		10—16		19		128—610	
	M _{N3}		18		17		> 156	
	M _{N4}		21,7		18		245	
	M _{N5}		24		18		216	
	M _{N6}		29		18		137	
	M _{E1}	5	5—7		24	299		
	M _{E2}		10		19	696		
	M _{E3}		14		19	377		
	M _{E4}		16,7		20	464		
	M _{E5}		18,2		18	350		
	M _{EV}		22,2		17	176		
— 2.	eL	5	12		30	18		
	L		18		40	70		
	M _E		28		20	48		
	M _N		29		20		21	
— 7.	eL	10	12,8		30	55		
	M _E		17		18	44		
	M _N		21		20		50	
— 10.	iP	7	7	9	2	3	4	
	iS		10	40	2	6		
— 12.	e	20	39,9		3	1		
	i		52	33	4	1		
	eL	21	46,4		30	9		
	M	22	3		20—30	8—18	6—12	
— 13.	i	3	29	7	3	4	1/2	
— 19.	i _{1E}	11	54	49	4	2		
	i _E		56	33	6	2		
	i _{3E}	12	2	2	6	2		
	i _N		2	54	8		9	
	eL		22,5		40	210		
	M		31		18	212	211	
	M _{2E}		34		20	320		
	M _{2N}		36		20		206	
— 28.			14 ¹ / ₂ —16					
							Aufzeichnung gestört.	

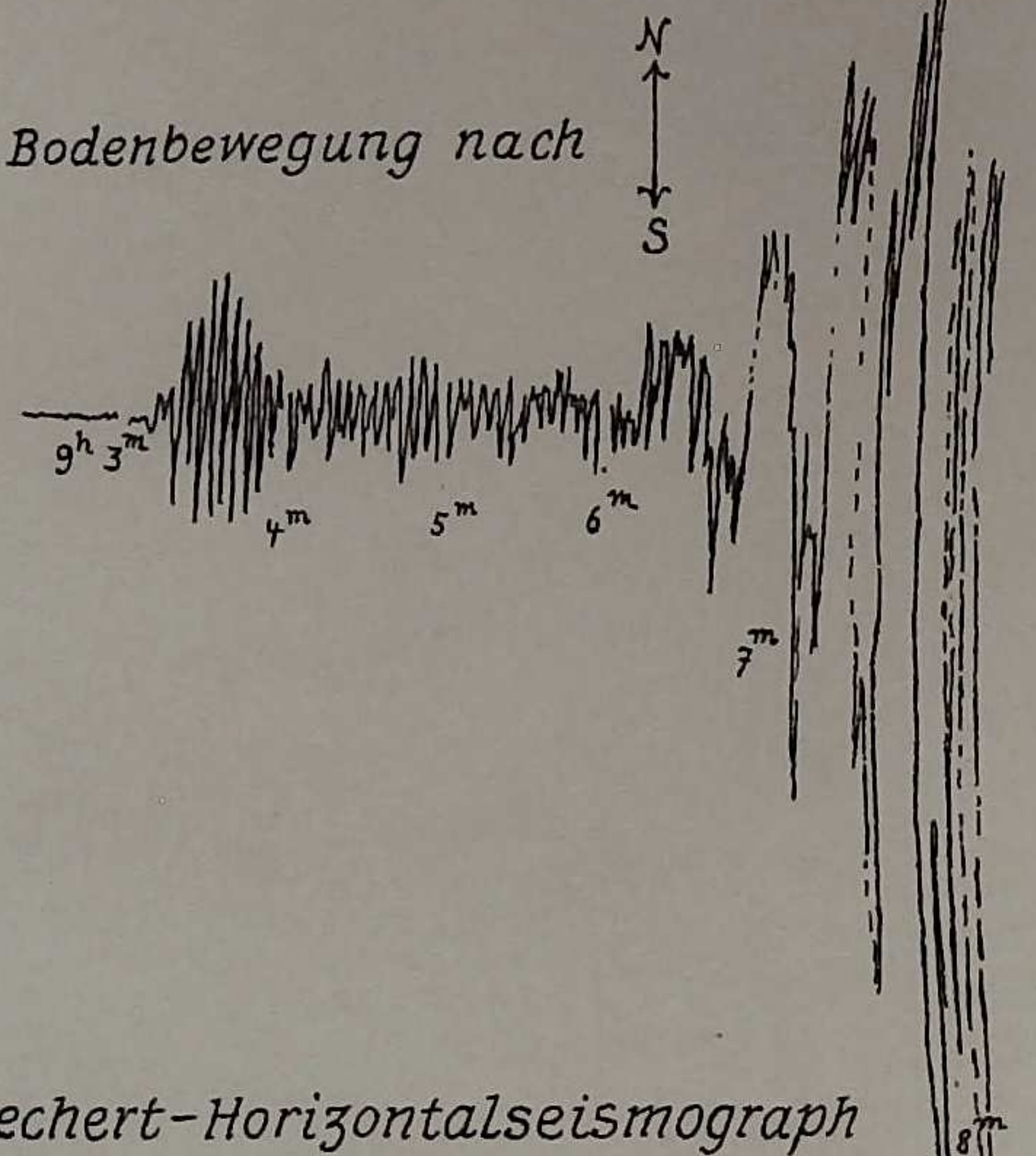
Bemerkenswert bei dieser Wellengruppe ist das gleichmäßige Anwachsen und Wiederabnehmen der Amplituden.

M_sB läßt Vorphasen nicht erkennen.

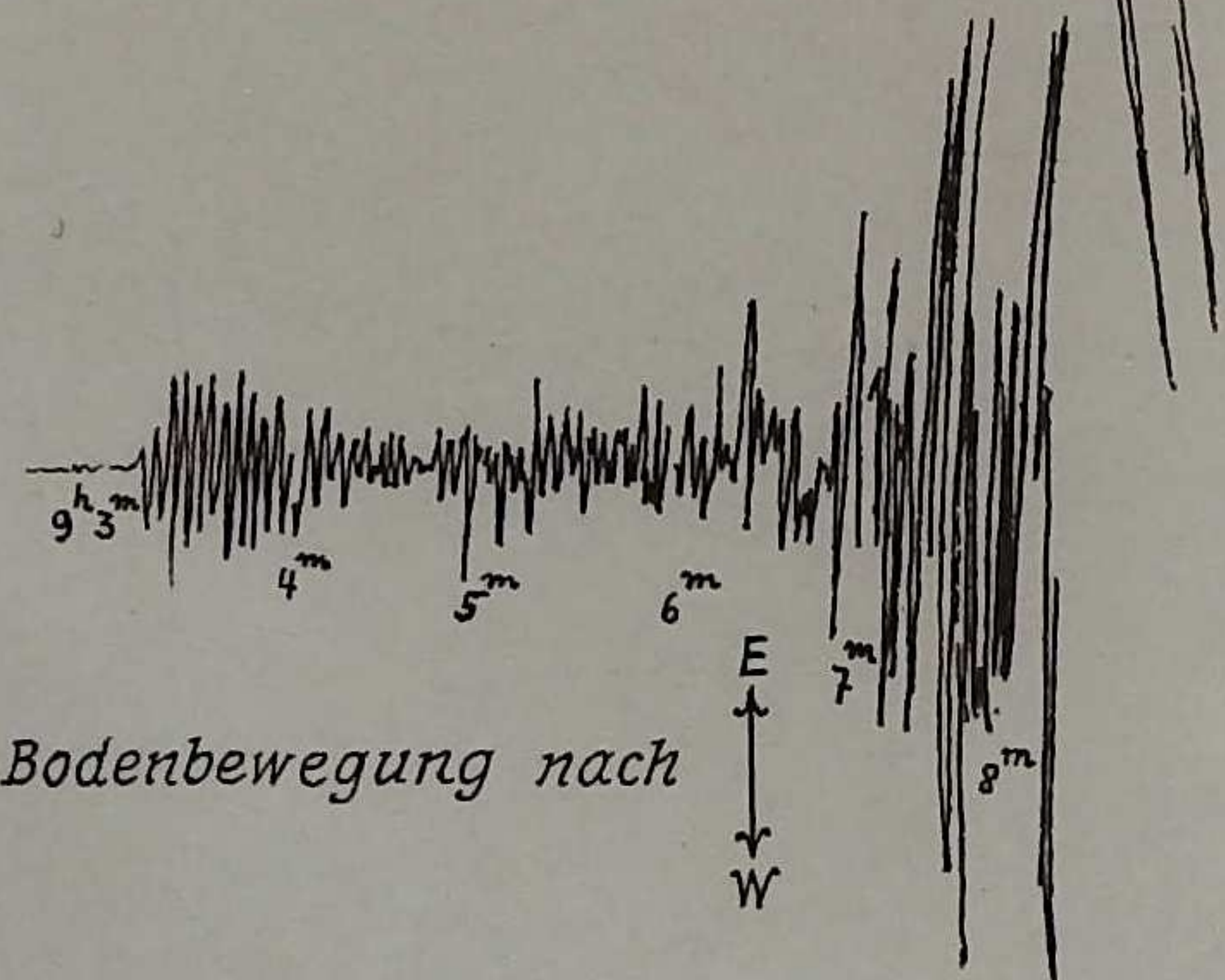
Von kürzeren Perioden stark überlagert.

Buchdruckerei des Waisenhauses, Halle (S.)

Bodenbewegung nach



Wiechert-Horizontalseismograph

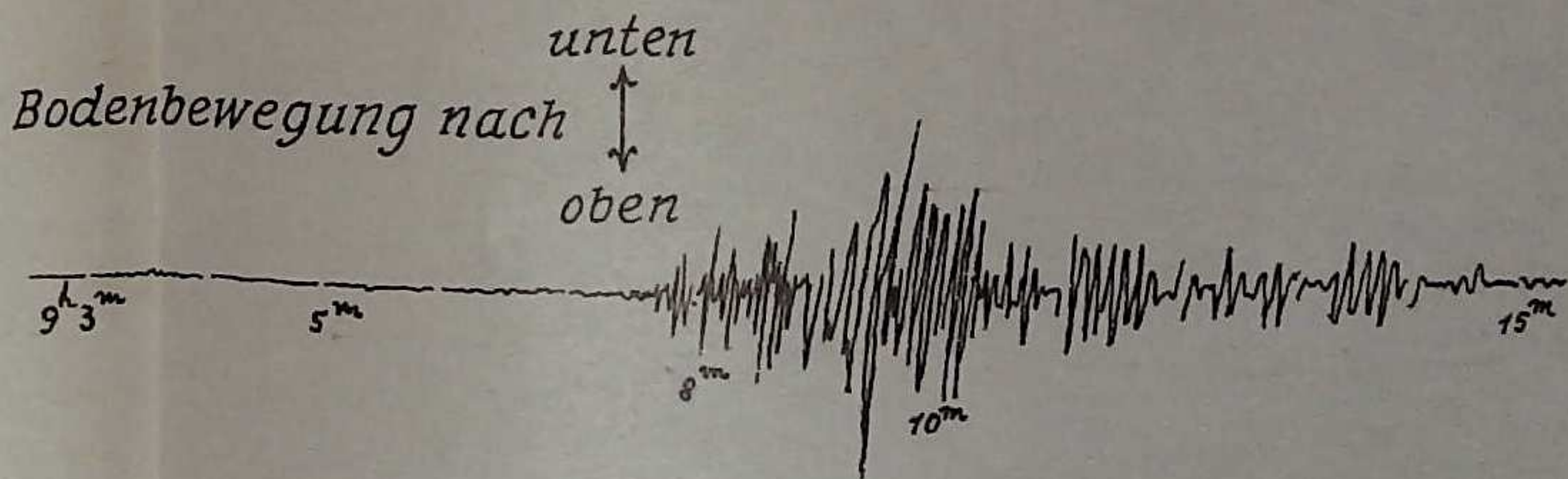


Bodenbewegung nach

Potsdam, 14. April 1928.

(Herd: Südbulgarien)

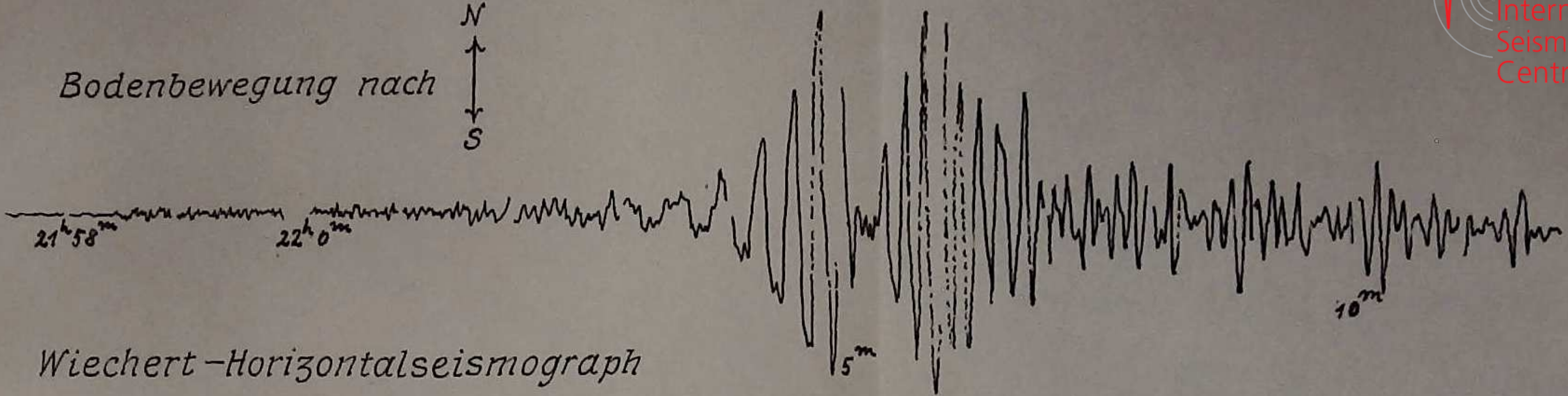
Weltzeit = Uhrangabe - 3^s



Wiechert-Vertikalseismograph

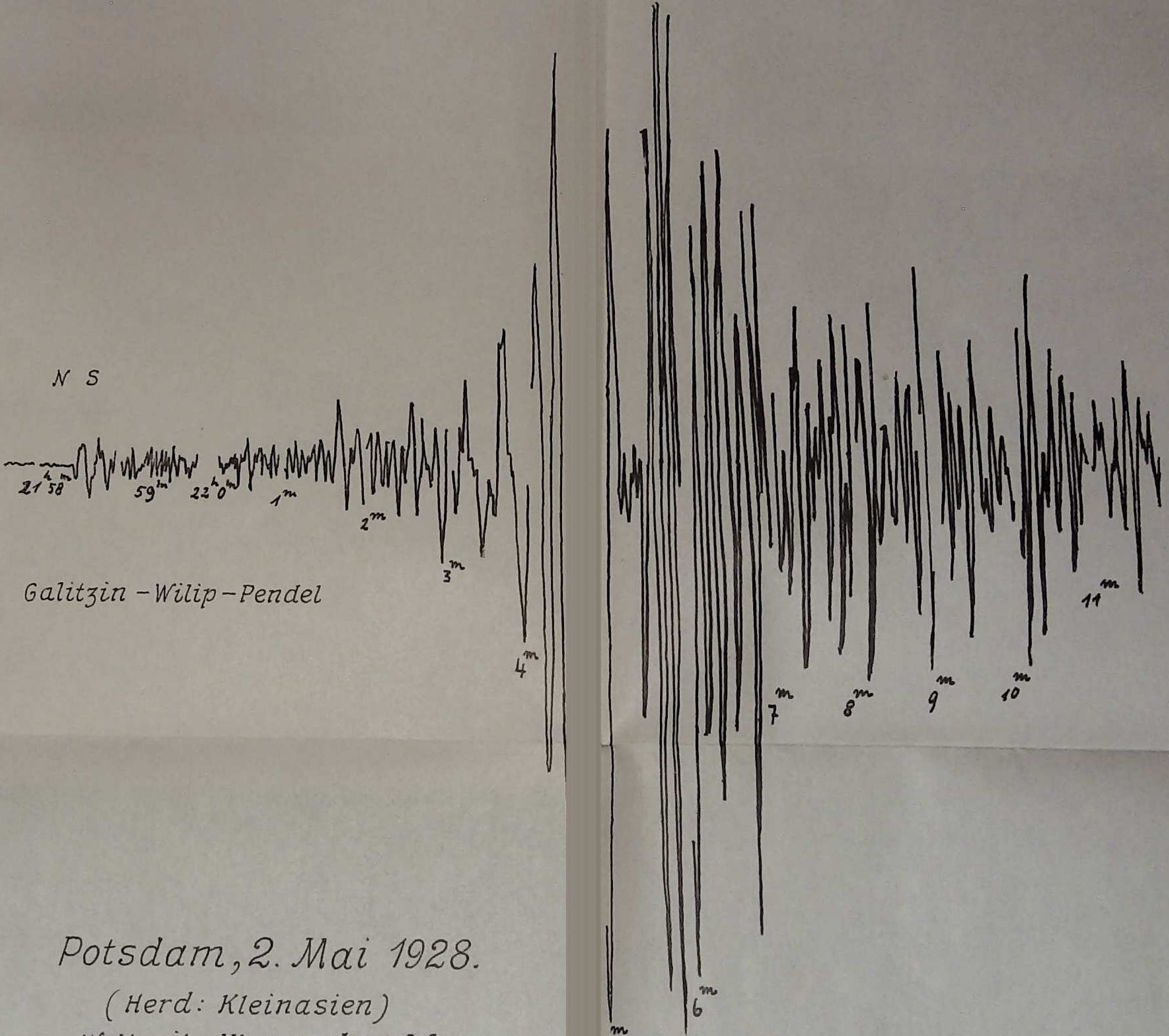
Bodenbewegung nach

N
↑
↓
S



Wiechert-Horizontalseismograph

N S



Galitzin - Wilip - Pendel

Potsdam, 2. Mai 1928.

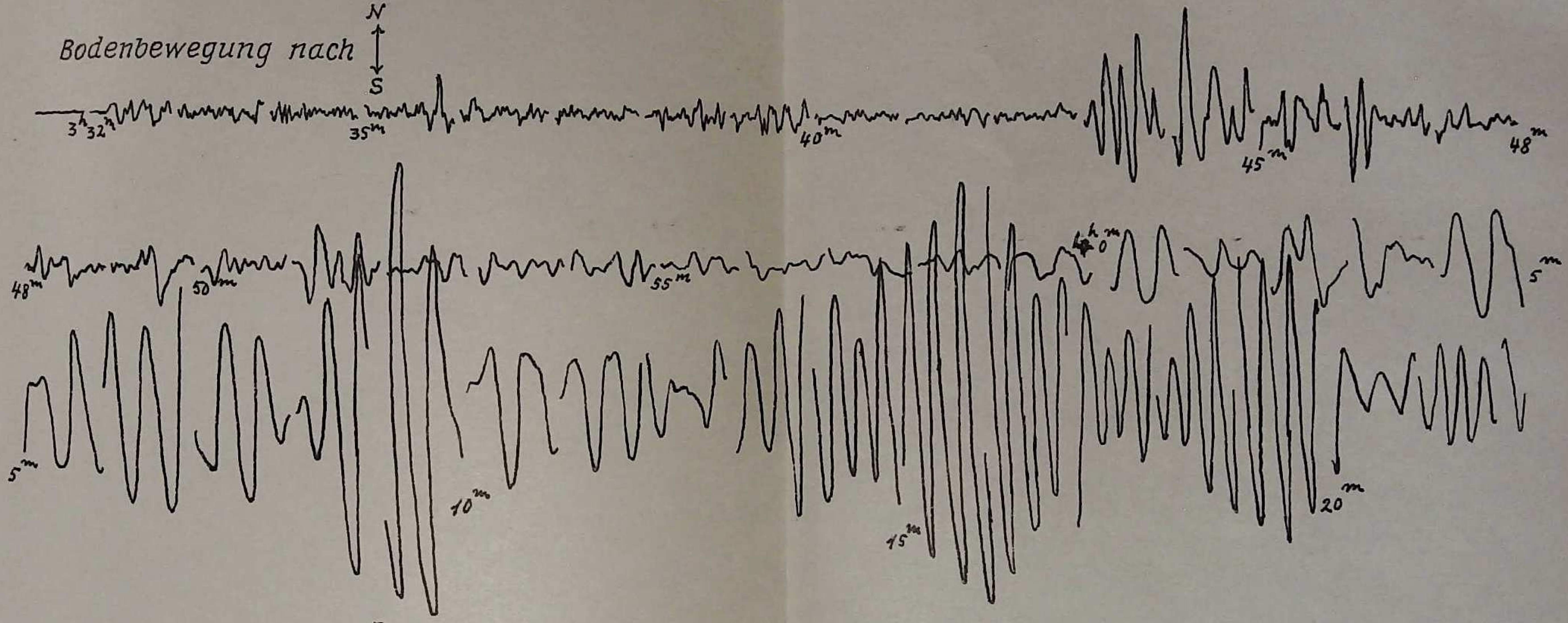
(Herd: Kleinasien)

Weltzeit = Uhrangabe + 0 s

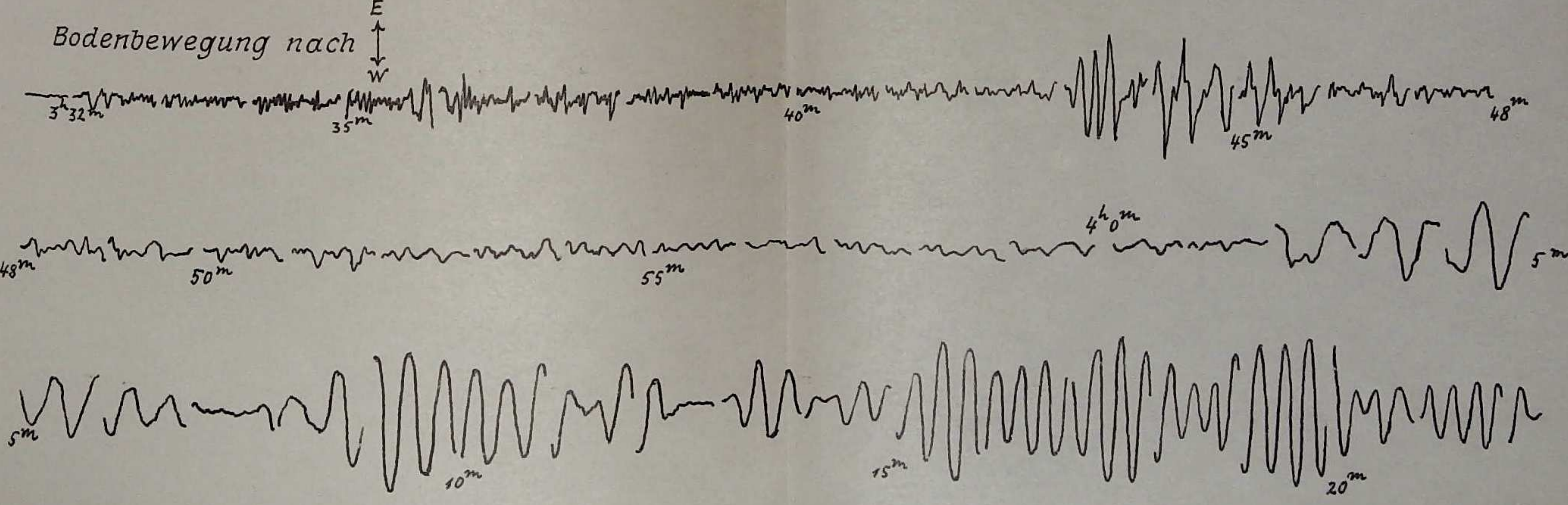
Potsdam, 17. Juni 1928.
(Herd: Mexiko.) Weltzeit = Uhrangabe + 19⁵
Wiechert-Horizontalseismograph



Bodenbewegung nach



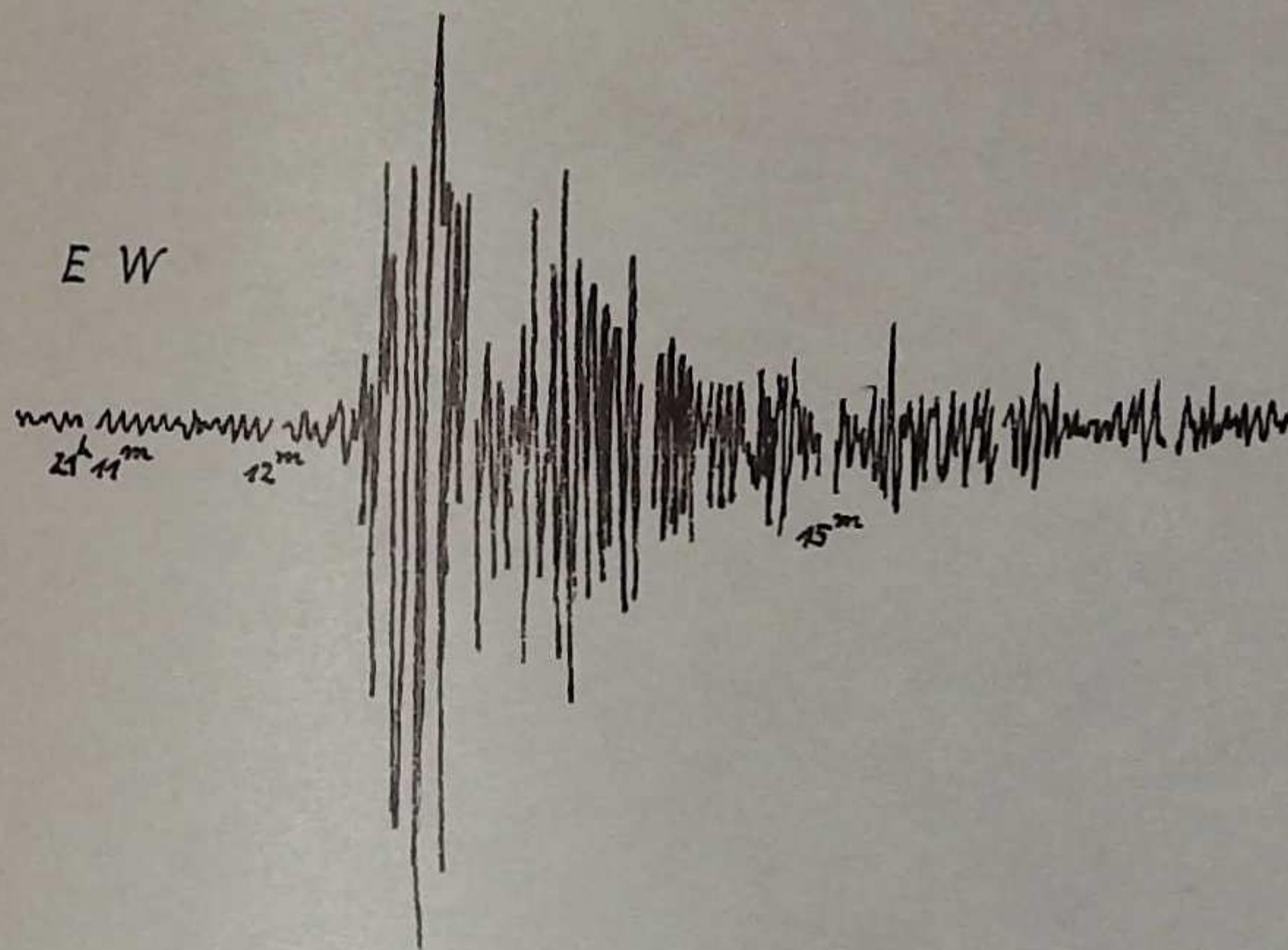
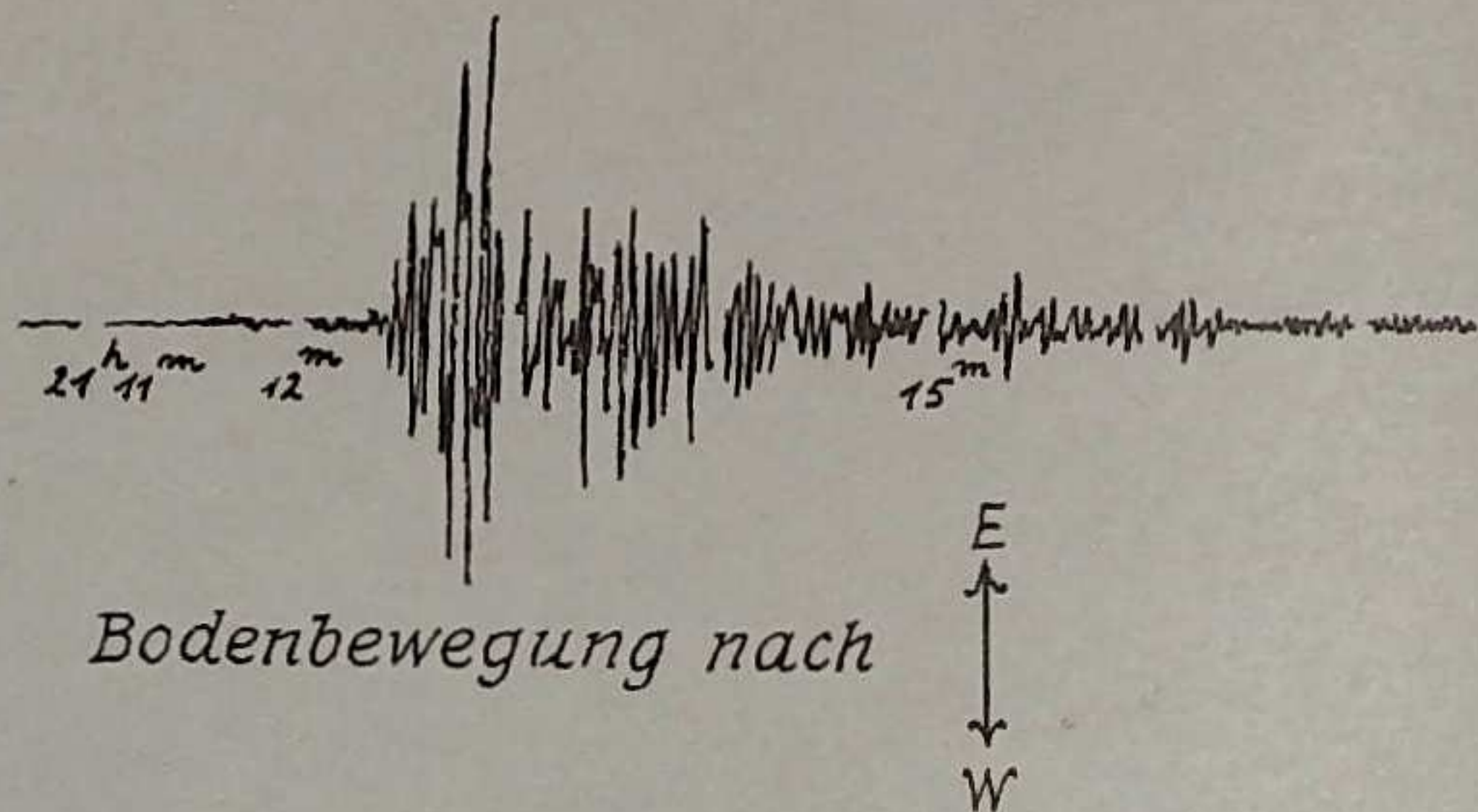
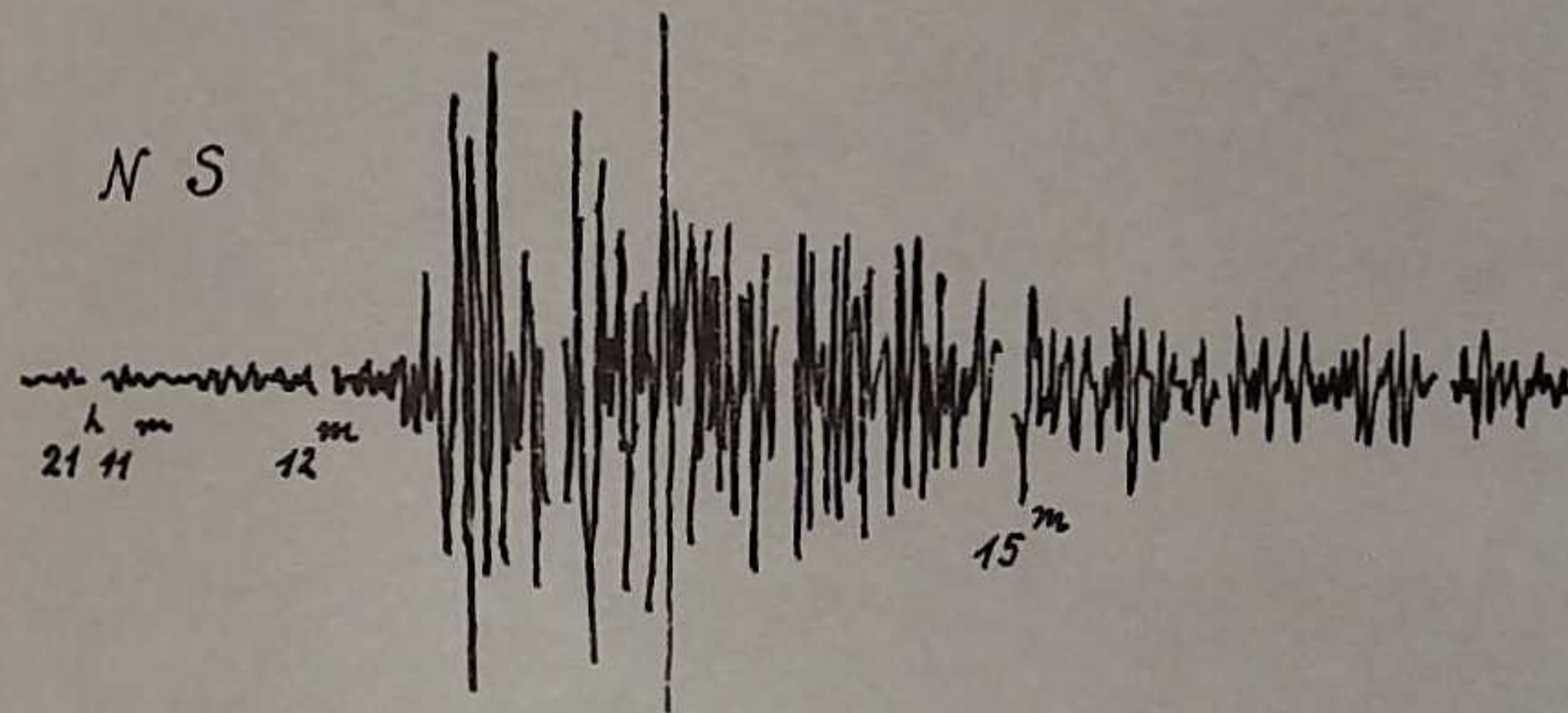
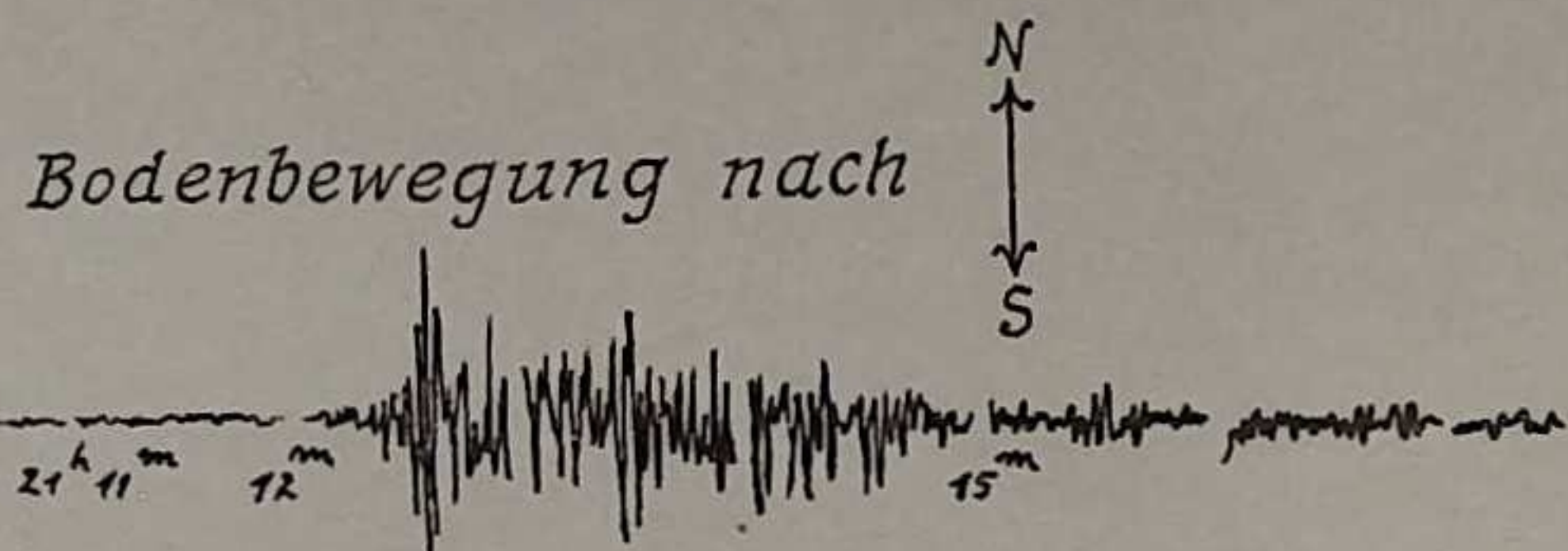
Bodenbewegung nach



Potsdam, 25. August 1928.



Weltzeit = Uhrangabe + 16 S



Wiechert-Horizontalseismograph

Galitzin-Wilip-Pendel



Nr.	Titel	Betrag
N. 25	Ausgleichung der Widersprüche in den Winkelbedingungsgleichungen trigonom. Netze. L. Krüger. Potsdam 1906. 4° 34 S.	2.40
N. 34	Bedingungsgleichungen für Liniennetze und für Rückwärtseinschnitte. L. Krüger. Potsdam 1908. 4° 50 S.	3.60
N. 36	Lotabweichungen im Harz. A. Galle. Berlin 1908. 4° 200 S., 2 Karten	14.40
N. 60	Transformation der Koordinaten bei der konformen Doppelprojektion usw. L. Krüger. Potsdam 1914. 4° 43 S.	3.60
N. 86	Die gabraüchl. Ellipsoide u. d. Lotabweich. A. Berroth. Berlin 1922. 4° 23 S.	4.80
N. 88	Längengradmessung in 48° Breite zwischen Astrachan und Brest. I. Heft. A. Galle. Berlin 1923. 4° 100 S.	7.20
N. 89	Zur stereographischen Projektion. L. Krüger. Berlin 1922. 4° 28 S.	4.80
N. 90	Entwicklungsverfahren zum Ausgleichen geod. Netze usw. II. Boltz. Berlin 1923. 4° 108 S.	7.20
N. 98	Untersuchungen über ein allgemeines Erdellipsoid. H. Schmehl. Potsdam. 1927. 4° 72 S.	10.—
N. 101	Systematische Fehler in geodätischen Netzen. G. Förster und G. Schütz. Potsdam 1929. 4° 74 S.	7.50
71	Beobachtungen mit d. Besselschen Pendel-Apparat in Königsberg und Guldenstein. C. F. W. Peters. Hamburg 1874. 4° 151 S.	6.60
259	Beiträge zur Theorie des Reversionspendels. F. R. Helmert. Potsdam 1898. 4° 92 S., 1 Tafel	9.15
N. 10 C	Bestimmung d. Intensität d. Schwerkraft usw. in Karlsruhe, Straßburg usw. M. Haid. Berlin 1904. 4° 74 S., 1 Tafel	4.80
N. 27	Absolute Größe der Schwerkraft zu Potsdam mit Reversionspendeln. F. Kühnen und Ph. Furtwängler. Berlin 1906. 4° 390 S.	30.—
N. 41	Intensität d. Schwerkraft im nördl. Teil v. Hannover usw. L. Haasemann. Berlin 1909. 8° 178 S., 1 Tafel	3.—
N. 20 C	Bestimmung der Schwerkraft auf dem Schwarzen Meere usw. O. Hecker. Berlin 1910. 4° 160 S., 4 Tafeln	7.20
N. 71	Bestimmung der Intensität d. Schwerkraft im Meridian 9°, in Ostpreußen u. d. d. Mittelgebirgen. L. Haasemann. Berlin 1916. 8° 154 S., 3 Tafeln	7.20
N. 49	Deformation des Erdkörpers durch Sonne und Mond 2. Heft. O. Hecker und O. Meissner. Berlin 1911. 8° 171 S., 10 Tafeln	5.40
N. 55	Seismometrische Beobachtungen 1911. Berlin 1912. 8° 46 S.	2.40
N. 62	" " " 1913. Berlin 1914. 8° 33 S.	2.40
N. 64	" " " 1914. Berlin 1915. 8° 25 S.	2.40
N. 67	" " " 1915. Berlin 1916. 8° 22 S.	2.40
N. 73	" " " 1916. Berlin 1917. 8° 19 S.	2.40
N. 76	" " " 1917/18. Berlin 1919. 8° 26 S.	2.40
N. 96	" " " 1919/24. Potsdam 1926. 8° 44 S.	2.40
N. 100	" " " 1925/27. Potsdam 1928. 8°	2.40
N. 59	Harmonische Analyse d. Lotstörungen d. Sonne u. Mond. W. Schweydar. Potsdam 1914. 4° 72 S.	6.—
N. 66	Theorie d. Deformation d. Erde usw. W. Schweydar. Potsdam 1916. 4° 51 S.	4.80
N. 35 C	Lotschwankungen u. Deformation d. Erde durch Flutkräfte. W. Schweydar. Berlin 1921. 4° 114 S.	6.60
Jahresberichte des Geodätischen Instituts.		
183	1886/87. Berlin 1887. 8° 32 S.	1.20
202	1888/89. Berlin 1889. 8° 36 S.	1.20
210	1889/90. Berlin 1890. 8° 30 S.	1.20
215	1890/91. Berlin 1891. 8° 24 S.	1.20
N. 56	1911/12. Potsdam 1912. 8° 36 S.	2.40
N. 72	1916/17. Potsdam 1917. 8° 36 S.	2.40
N. 75	1917/18. Potsdam 1918. 8° 45 S.	2.40
N. 87	1921/22. Potsdam 1922. 8° 40 S.	2.40
N. 92	1922/23. Potsdam 1923. 8° 32 S.	2.40
N. 94	1923/24. Potsdam 1924. 8° 28 S.	2.40
N. 95	1924/25. Potsdam 1925. 8° 34 S.	2.40
N. 97	1925/26. Potsdam 1926. 8° 37 S.	2.40
N. 99	1926/27. Potsdam 1927. 8° 35 S.	2.40
Jahresberichte über die Tätigkeit des Zentralbüros.		
	1899, 1900, 1903, 1904, 1905 4° je	1.20
	1906, 1907, 1908, 1914, 1915, 1916, 1918, 1920, 1921 4° je	1.80